

ЗАДАЧИ

1. Точка движется вдоль оси Ox , ее скорость изменяется по закону: $v(t) = 0,1 + 0,3t + 0,2t^2 - 0,1t^3$ (м/с). Постройте графики зависимости $x(t)$ и $v(t)$. Найдите координату и скорость точки в момент $t'=3,2$ с, а также среднюю скорость за первую и третью секунды движения.

Запишем формулы: $\Delta x = v(t)\Delta t$, $x^{t+1} = x^t + v^t \Delta t$. Координата x находится как интеграл от скорости по времени, для ее вычисления применяется метод прямоугольников. Шаг по времени $\Delta t = 0,1$ помещают в ячейку E1. В ячейку A1 таблицы вводят время $t = 0$, в ячейку A2 – $=A1+\$E\1 , затем эту формулу копируют вниз. Высота таблицы 50 строк. В ячейку B1 вводят формулу для расчета скорости точки $=0,1+0,3*A1+0,2*A1*A1-0,1*A1*A1*A1$, а затем ее копируют вниз. В ячейку C1 записывают формулу $=B1*\$E\1 , а в ячейку C2 помещают формулу $=C1+B2*\$E\1 , которую также копируют вниз. В ячейках столбца C вычисляется приращение координаты за время Δt и складывается с координатой точки в предыдущий момент времени. На основе таблицы строят графики $x(t)$ и $v(t)$.

2. Камень брошен со скоростью $v_0 = 17$ м/с под углом α к горизонту. Рассчитайте его координаты x и y , проекции скорости v_x и v_y , модуль скорости v , угол γ между вектором скорости и горизонталью, тангенциальное a_τ и нормальное a_n ускорения в момент $t'=1,3$ с.

Запишем формулы, позволяющие определить искомые величины:

$$x = v_0 \cos \alpha \cdot t, \quad y = v_0 \sin \alpha \cdot t - g t^2 / 2,$$

$$v_x = v_0 \cos \alpha, \quad v_y = v_0 \sin \alpha - g t, \quad v = \sqrt{v_x^2 + v_y^2},$$

$$\gamma = \arctg(v_y / v_x), \quad a_n = g \cos \gamma, \quad a_\tau = g \sin \gamma.$$

Для того чтобы можно было изменять исходные данные, задаваемые значения начальной скорости v_0 и угла α следует ввести в отдельные ячейки, например M2 и M3. Чтобы перевести градусы в радианы, в ячейку N3 вводят формулу: $=M3*3,1415/180$. Для решения задачи в Excel создается таблица; содержимое ее ячеек представлено в табл. 2.1. Получающиеся результаты приведены на рис. 2.1.

Таблица 2.1

| Ячейки | Величина | Содержимое |
|-----------------|----------|---|
| B1, B2, B3, ... | τ | 0; 0,2; 0,4; 0,6; 0,8; 1; 1,2 ... |
| C3 | x | $=\$M\$2*\text{COS}(\$N\$3)*B3$ |
| D3 | y | $=\$M\$2*\text{SIN}(\$N\$3)*B3-9,8*B3*B3/2$ |
| E3 | v_x | $=\$M\$2*\text{COS}(\$N\$3)$ |
| F3 | v_y | $=\$M\$2*\text{SIN}(\$N\$3)-9,8*B3$ |
| G3 | v | $=\text{КОПЕНЬ}(E3*E3+F3*F3)$ |
| H3 | γ | $=\text{ATAN}(F3/E3)*180/3,1415$ |
| I3 | a_n | $=9,8*\text{COS}(\text{ATAN}(F3/E3))$ |
| J3 | a_τ | $=9,8*\text{SIN}(\text{ATAN}(F3/E3))$ |

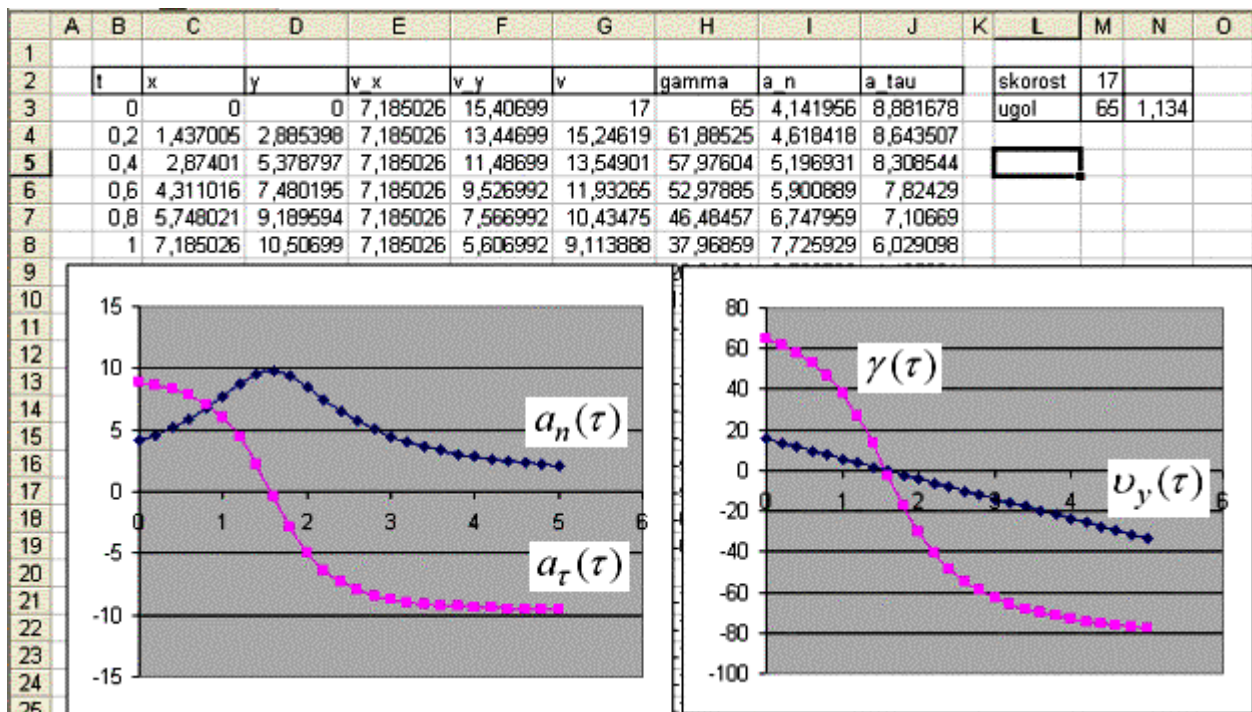


Рис. 2.1. Расчет движения камня, брошенного под углом к горизонту

3. Тело совершает затухающие колебания, описываемые уравнением: $x(\tau) = A \exp(-\beta\tau) \sin(\omega\tau + \varphi_0)$. Постройте графики зависимости координаты $x = x(\tau)$ и проекции скорости $v_x = v_x(\tau)$ от времени, а также фазовую кривую при различных значениях амплитуды A , частоты ω , начальной фазы φ_0 и коэффициента затухания γ .

Решим эту задачу с помощью электронных таблиц, не используя модуль создания макросов. Значения амплитуды, частоты, начальной фазы и коэффициента затухания запишем в ячейки H1–H4. При обращении к этим ячейкам следует использовать абсолютную адресацию.

Таблица 3.1

| Ячейки | Величина | Содержимое |
|-----------------|-------------|---------------------------------------|
| A1, A2, A3, ... | τ | 0; 0,1; 0,2; 0,3; 0,4; 0,5; 0,6 ... |
| B2 | $x(\tau)$ | =H\$1*EXP(-H\$4*A2)*SIN(H\$2*A2+H\$3) |
| C2 | $v_x(\tau)$ | =(B3-B2)/0,1 |

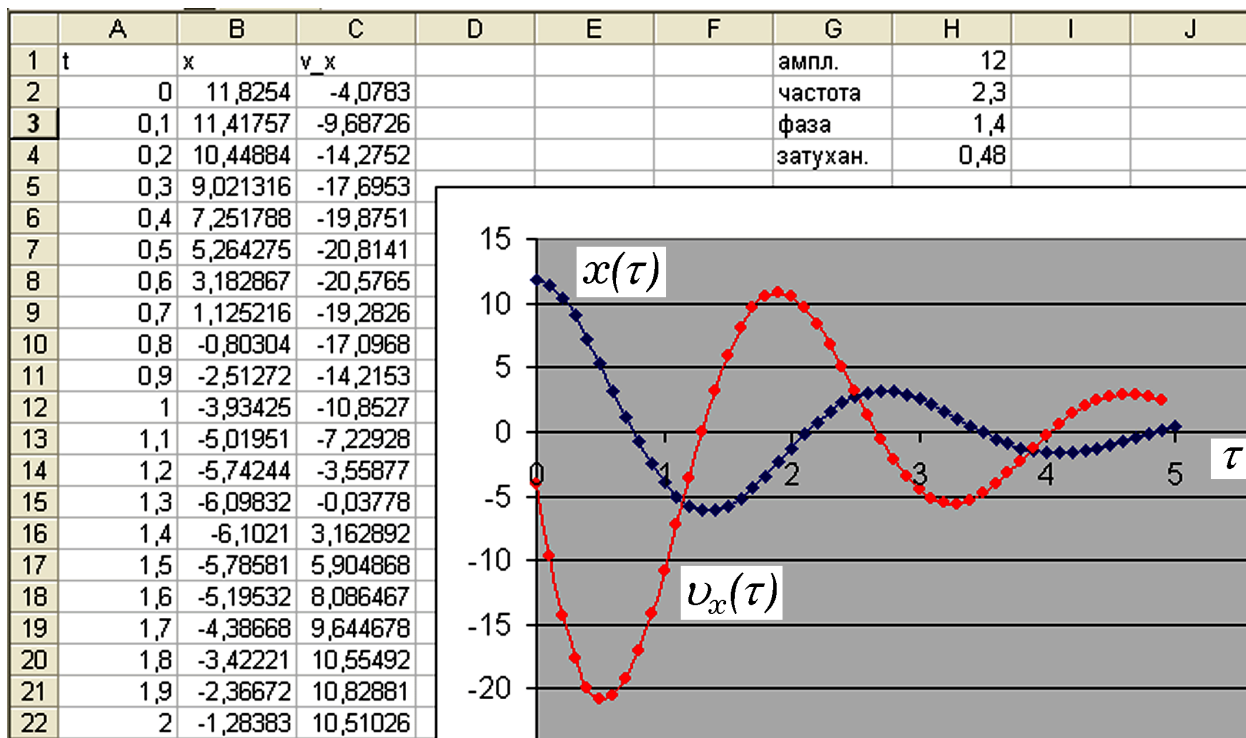


Рис. 3.1. Результат моделирования затухающих колебаний

4. Пружинный маятник состоит из тела массы m , подвешенного на пружине с жесткостью k в среде с вязкостью r . Систему выводят из равновесия и сообщают начальную скорость. Промоделируйте затухающие колебания при различных параметрах системы и начальных условиях x_0 и v_0 . Постройте фазовую кривую в осях x и v_x .

По второму закону Ньютона: $ma_x = -kx - rv_x$. Получаем:

$$m\ddot{x} + r\dot{x} + kx = 0, \quad a_x^{t+1} = (-kx^t - rv_x^t)/m,$$

$$v_x^{t+1} = v_x^t + a_x^{t+1}\Delta\tau, \quad x^{t+1} = x^t + v_x^{t+1}\Delta\tau.$$

В столбец А вводят время τ с шагом 0,01 с. Параметры m , k и r записывают в ячейки F2, G2, H2 соответственно. В ячейку B3 следует ввести “ $=(-G\$2*D2-H\$2*C2)/F\$2$ ”, в ячейку C3 вводят “ $=C2+B3*0,01$ ”, а в ячейку D3 – “ $=D2+C2*0,01$ ”. После этого формулы копируют вниз, создавая таблицу. Результаты моделирования представлены на рис. 4.1. Изменяя параметры колебательной системы, можно убедиться в том, что: 1) при увеличении массы период колебаний растет; 2) при увеличении жесткости период уменьшается; 3) при увеличении коэффициента сопротивления затухание происходит быстрее. Используя значения $x(\tau)$ и $v_x(\tau)$, постройте фазовую кривую в осях x и v .

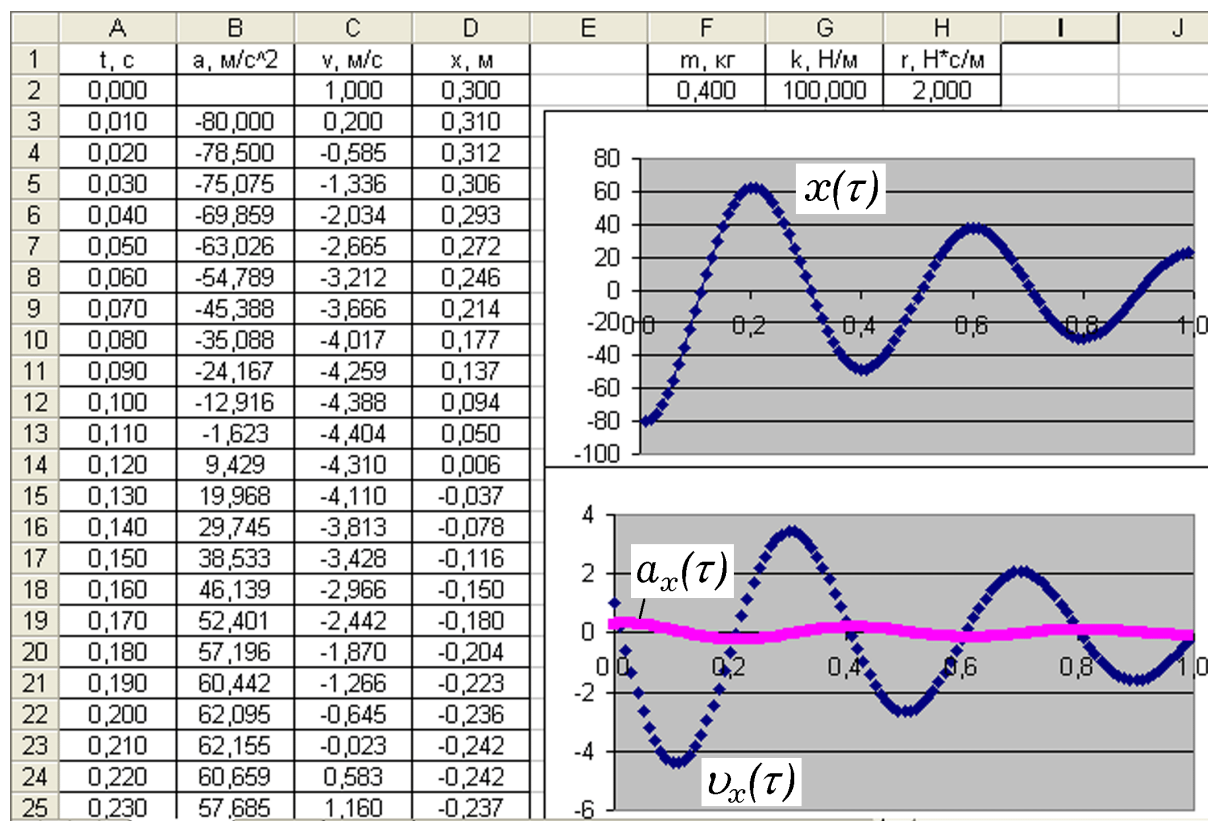


Рис. 4.1. Затухающие колебания пружинного маятника

5. Имеется неоднородный шар радиусом $R = 1$ м, плотность которого задана уравнением: $\rho(r) = 10^3 / (r + 0,2)$ кг/м³, где r – расстояние до центра O в метрах. Необходимо найти его массу.

Разобьем шар на $N = 200$ элементарных масс Δm_i , имеющих форму сферических слоев радиусом r_i и толщиной Δr . Объем каждого слоя $\Delta V_i = 4\pi \cdot r_i^2 \Delta r$, а его масса $\Delta m_i = \rho(r_i) \Delta V_i = 10^3 \Delta V_i / (r_i + 0,2)$.

Общая масса шара

$$m \approx \sum_{i=1}^N \Delta m_i = \sum_{i=1}^N \rho(r_i) \Delta V_i = \sum_{i=1}^N \frac{10^3}{r_i + 0,2} 4\pi \cdot r_i^2 \Delta r.$$

Точное значение массы шара равно интегралу:

$$m = \int_V \rho(r) dV = \int_0^R \frac{4\pi \cdot 10^3}{r + 0,2} r^2 dr.$$

Для решения этой задачи численным методом в среде Excel создается таблица из 200 строк. В столбец A следует ввести значения $r_i = 0,005i$, где $i = 0, 1, 2, \dots$. В столбце B вычисляется элементарный объем ΔV_i сферического слоя толщиной $\Delta r = 0,05$ м, для этого в ячейку $B2$ записывают формулу $'=4*3,1415*A2*A2*0,05'$. В ячейку $C2$ вводят $'=1000/(A2+0,2)'$, в ячейку $D2$ записывают $'=B2*C2'$, в ячейку $E3$ вводят $'=D3+E2'$. После этого содержимое ячеек $B2, C2, D2$ и $E3$ копируют вниз, заполняя все 200 строк таблицы. В последнем столбце суммируются все элементарные массы Δm_i . Искомое значение массы шара находится в самой нижней ячейке столбца E и равно 46966 кг.

6. К источнику постоянного напряжения с ЭДС $E = 10$ В и внутренним сопротивлением $r = 5$ Ом подключен переменный резистор. При каком сопротивлении внешней нагрузки R выделяющаяся на нем мощность P максимальна? Постройте график $P = P(R)$.

Сила тока и мощность рассчитываются по формулам:

$$I = E / (R + r), \quad P = I^2 R.$$

Решим эту задачу без использования макросов, для этого создадим таблицу. Столбец А содержит значения сопротивления нагрузки R , столбцы В и С – результаты расчетов силы тока и мощности (в ячейки В2 и С2 записывают “=10/(А2+5)”, “=В2*В2*А2”). Результаты вычислений представлены на рис. 6.1. Видно, что на нагрузке выделяется максимальная мощность, когда ее сопротивление равно внутреннему сопротивлению источника 5 Ом.

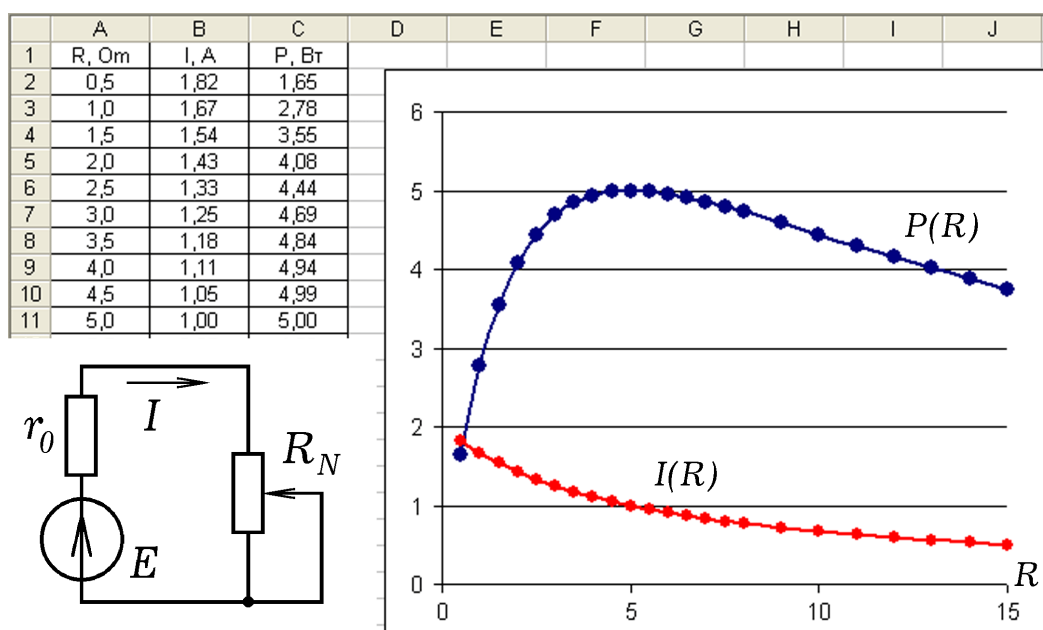


Рис. 6.1. Расчет зависимостей $I(R)$ и $P(R)$

7. К источнику переменного напряжения регулируемой частоты подключен последовательный колебательный контур, состоящий из резистора R , конденсатора C и катушки индуктивности L . Рассчитайте емкостное X_C , индуктивное X_L , полное сопротивление цепи Z и силу тока I на разных частотах f . Постройте резонансную кривую $I = I(f)$.

Для моделирования резонанса напряжений используют формулы:

$$\omega = 2\pi \cdot f, \quad X_L = \omega L, \quad X_C = 1/(\omega \cdot C), \quad Z = \sqrt{R^2 + (X_L - X_C)^2},$$

$$I = U / Z, \quad U_L = X_L I, \quad U_C = X_C I, \quad f_0 = 1/(2\pi\sqrt{LC}).$$

Здесь f_0 – собственная частота колебательного контура. Для того чтобы можно было изменять параметры R , C , L , их значения следует поместить в ячейки L1, L2, L3 и использовать абсолютную адресацию. Например, в ячейку C2 следует ввести “=B2*\$L\$2”, а в ячейку D2 нужно записать “=1/(B2*\$L\$3)”. Результаты моделирования представлены на рис. 7.1.

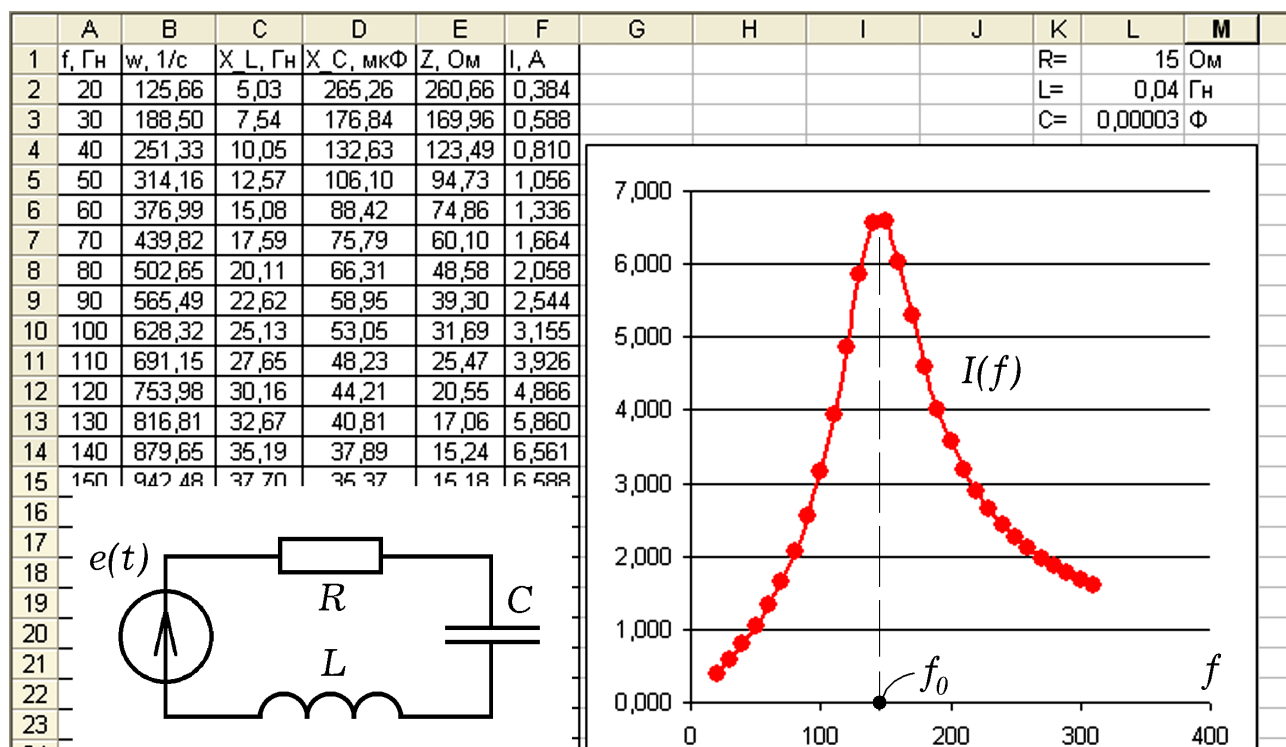


Рис. 7.1. Резонансная кривая в последовательном контуре

8. На прямую треугольную стеклянную призму с преломляющим углом $\varphi=0,54$ рад под углом α_1 падает световой луч (рис. 8.1). Рассчитайте его угол отклонения ψ при различных значениях α_1 , постройте график зависимости $\psi = \psi(\alpha_1)$. При каком угле падения α_1 угол отклонения ψ минимален?

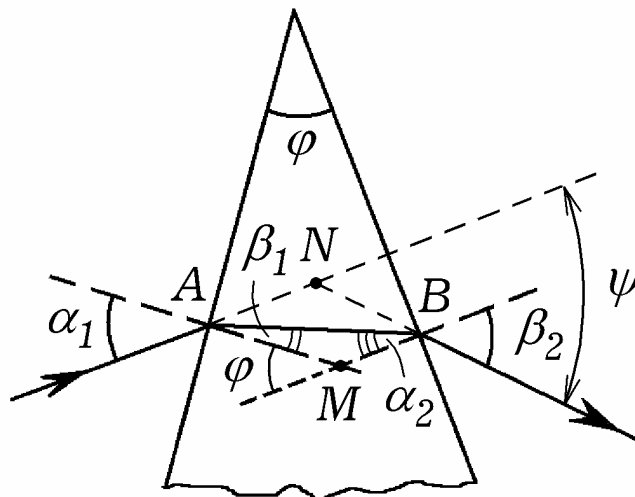


Рис. 8.1. Отклонение луча света призмой на угол ψ

Для решения задачи используются формулы:

$$\frac{\sin \alpha_1}{\sin \beta_1} = n, \quad \frac{\sin \alpha_2}{\sin \beta_2} = \frac{1}{n}, \quad \beta_1 + \alpha_2 = \varphi, \quad \psi = (\alpha_1 - \beta_1) + (\beta_2 - \alpha_2).$$

При этом учитывается, что: 1) угол φ для треугольника ABM является внешним и поэтому равен сумме двух других углов несмежных с ним; 2) угол отклонения луча ψ призмой складывается из углов NAB и NBA , которые равны $\alpha_1 - \beta_1$ и $\beta_2 - \alpha_2$ соответственно. Угол ψ вычисляется так: $\beta_1 = \arcsin(\sin \alpha_1 / n)$, $\alpha_2 = \varphi - \beta_1$,

$$\beta_2 = \arcsin(n \sin \alpha_2), \quad \psi = (\alpha_1 - \beta_1) + (\beta_2 - \alpha_2).$$

Угол падения α_1 изменяется от 0 до $\pi/2 \approx 1,57$ рад с шагом $\Delta\alpha_1=0,05$ рад; его записывают в первый столбец таблицы. В остальных столбцах находятся результаты вычислений β_1 , α_2 , β_2 , ψ в радианах при различных α_1 . Значения показателя преломления n и преломляющего угла φ задаются в ячейках Н1 и Н2 (рис. 8.2).

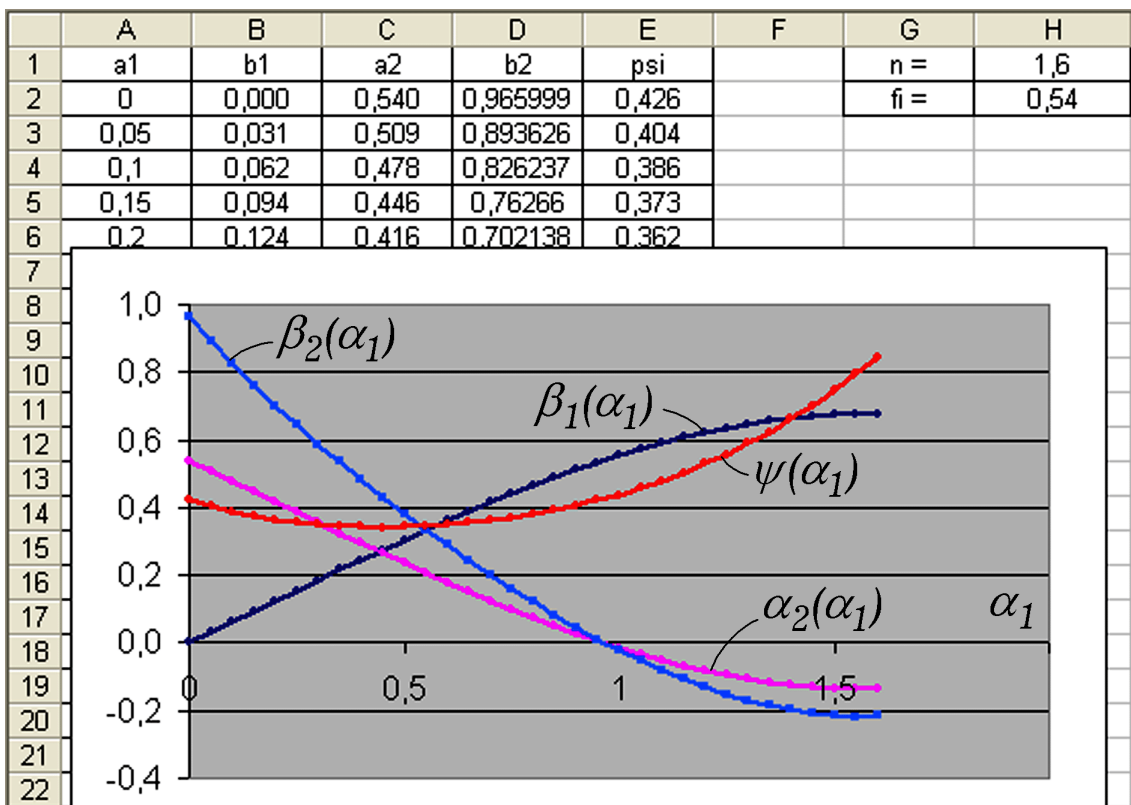


Рис. 8.2. Получающиеся графики зависимостей β_1 , α_2 , β_2 , ψ от α_1

Из результатов вычислений видно, что при $\alpha_1 = 0,95$ рад луч света падает на вторую преломляющую поверхность нормально ($\alpha_2 = \beta_2 = 0$). При любых α_1 из интервала $[0; \pi/2]$ угол отклонения ψ положительный и достигает минимума при $\alpha_1 = 0,40-0,45$ рад. Чтобы определить положение минимума точнее, необходимо повторить вычисления при меньшем шаге $\Delta\alpha_1$.

9. Два когерентных источника с мощностью P_1 и P_2 излучают гармонические звуковые волны с длиной λ синфазно (рис. 9.1). Источники отстоят друг от друга на расстоянии d и удалены от оси Oy на расстояние L . Рассчитайте распределение интенсивности $I(y)$ вдоль оси Oy .

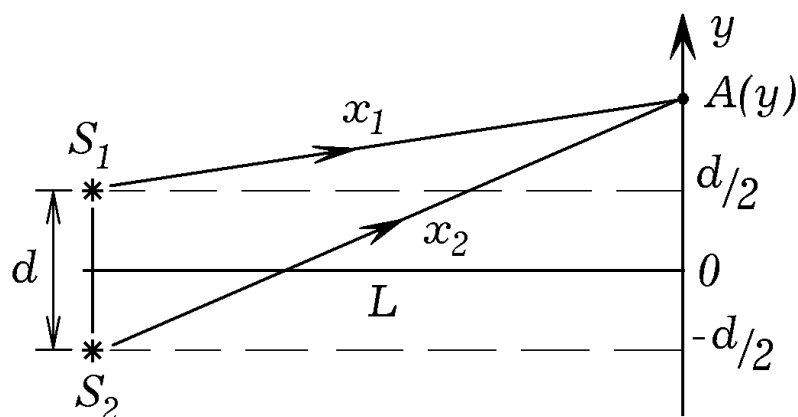


Рис. 9.1. Интерференция от двух точечных источников

Результирующая интенсивность в точке наблюдения $A(y)$:

$$I = I_1 + I_2 + 2\sqrt{I_1 I_2} \cos(2\pi \cdot \Delta x / \lambda),$$

где I_1 и I_2 – интенсивности волн в точке $A(y)$, $\Delta x = x_2 - x_1$ – их разность хода, $x_1 = (L^2 + (y - d/2)^2)^{0,5}$ и $x_2 = (L^2 + (y + d/2)^2)^{0,5}$ – расстояния, проходимые волнами. Так как вся излучаемая источником энергия равномерно распределяется по сферической волновой поверхности, то $I_1 = P_1 / (4\pi \cdot x_1^2)$ и $I_2 = P_2 / (4\pi \cdot x_2^2)$. Для решения задачи следует создать такую же таблицу, как на рис. 9.2 и построить график $I(y)$. Изменяя длину волны, мощности источников, расстояние между ними и до экрана, можно изучить зависимость интерференционного распределения интенсивности вдоль оси Oy от перечисленных величин.

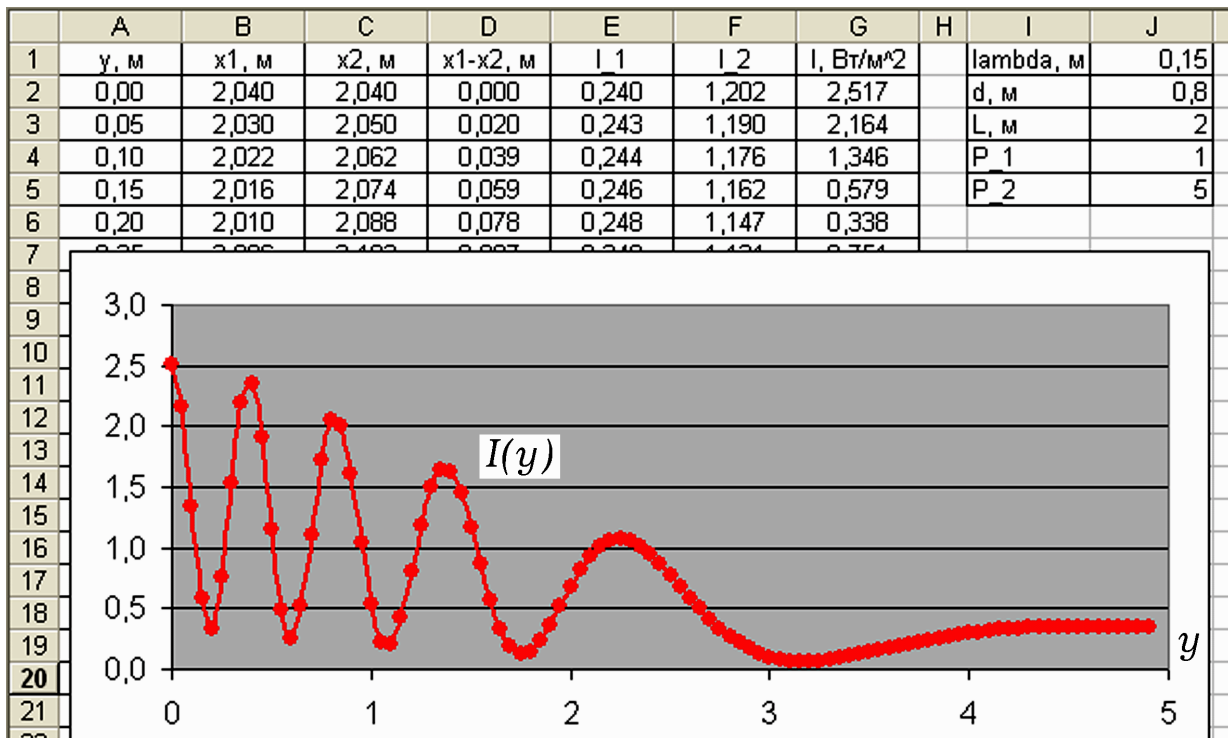


Рис. 9.2. Распределение интенсивности при интерференции